

CARTA DE APROXIMACIÓN  
POR INSTRUMENTOS-OACI

ELEV AD  
209  
VAR 5°W (2020)

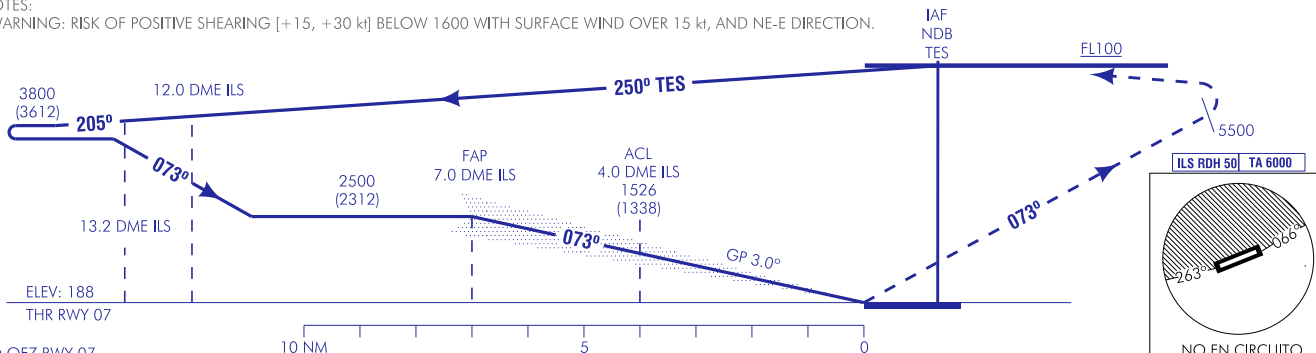
APP 127.700  
TWR 119.000  
GMC 121.900  
ATIS 118.675

TENERIFE SUR  
ILS Y  
RWY 07



**FRUSTRADA:** SUBIR EN RUMBO DE PISTA HASTA ALCANZAR 5500. VIRAR A LA DERECHA (IAS MAX 220 kt) DIRECTO AL NDB TES ASCIENDIENDO A FL100 PARA INTEGRARSE A LA ESPERA.  
**MISSED APCH:** CLIMB ON RUNWAY HEADING TO REACH 5500. TURN RIGHT (MAX IAS 220 kt) DIRECT TO NDB TES CLIMBING TO FL100 TO JOIN THE HOLDING.

NOTAS:  
- AVISO: RIESGO CIZALLADURA POSITIVA [+15, +30 kt] POR DEBAJO DE 1600 CON VIENTO EN SUPERFICIE SUPERIOR A 15 kt CON DIRECCIÓN NE-E.  
NOTES:  
- WARNING: RISK OF POSITIVE SHEARING [+15, +30 kt] BELOW 1600 WITH SURFACE WIND OVER 15 kt, AND NE-E DIRECTION.

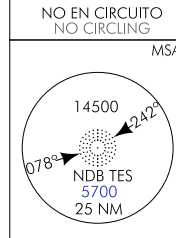
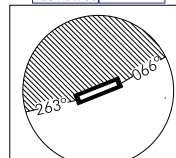


NO OFZ RWY 07  
HGT REF ELEV THR RWY 07

OCA/H	A	B	C	D
CAT I 2.5%	428 (240)	440 (252)	448 (260)	459 (271)
CAT I 3%	415 (227)	427 (239)	435 (247)	446 (258)
<b>En círculo (H) sobre Circling (H) over 209</b>	1180 (980)	1250 (1050)	1350 (1150)	

GS	kt	80	100	120	140	160	180
<b>FAP-THR: 7.0 NM</b>	min:s	5:14	4:11	3:29	2:59	2:37	2:19
<b>FAP-MAPT:</b>	min:s						
<b>ROD: 5.2 %</b>	ft/min	425	531	637	743	849	955

ALT/HGT DME (ILS) FNA												
13	12	11	10	9	8	7	6	5	4	3	2	1
							2190 (2000)	1860 (1670)	1530 (1340)	1210 (1020)	880 (700)	560 (370)



CAMBIOS: DECLINACIÓN MAGNÉTICA, ACTUALIZACIÓN DE RUMBOS, CUADRO NO EN CIRCUITO, IDIOMA, OBSTÁCULOS CRÍTICOS.  
CHANGES: MAGNETIC VARIATION, UPDATE OF HEADINGS, NO CIRCLING CHART, LANGUAGE, CRITICAL OBSTACLES.

TENERIFE SUR AD

REQUISITOS DE LA BASE DE DATOS AERONÁUTICA  
AERONAUTICAL DATABASE REQUIREMENTS

PROCEDIMIENTOS DE APROXIMACIÓN POR INSTRUMENTOS // INSTRUMENT APPROACH PROCEDURES

ILS Y RWY 07

PUNTO POINT	LATITUD LATITUDE	LONGITUD LONGITUDE	AZIMUT VERDADERO TRUE BEARING	DISTANCIA DME DME DISTANCE (NM)
NDB TES (IAF)	28°03'17.0"N	016°33'46.0"W	-	-
FAP	27°59'47.8"N	016°42'35.3"W	248.59° (LOC ITS)	6.97 DME ILS
Aproximación final de precisión - Pendiente (Ángulo de descenso) // Precision final approach - Slope (Descent angle)				5.24% (3.0°)

